

# 鐵と鋼 第十九年第十號

昭和八年十月二十五日發行

## 論 説

### 酸化鐵の磁性と酸素結合状態に就て

後藤有一\*

ON THE MAGNETIC PROPERTY OF THE IRON OXIDE AND THE STATE OF COMBINATION OF IRON WITH OXYGEN.

Yuuichi Gotoh.

*SYNOPSIS:*— The author and Mr. Kumahiko Hasegawa have described on the relation between the natural and artificial iron oxides which were reduced with  $H_2$ ,  $CO$ , and coal gases, and their magnetic properties. It is also discussed that the magnetic properties of the reduced iron oxide heated in air and vacuum are variable.

The present paper follows the previous one, and the following items are described as the many experimental results.

1. Measurement of permeability by ballistic galvanometer.
2. The permeabilities of  $Fe_3O_4$  and  $FeO$ .
3. The relation between the permeability of iron oxide and field intensity.
4. The relations between vacuum heating of the natural and reduced iron oxides, and their permeabilities.
5. The relations between the  $FeO$  contents of the natural and reduced iron oxides, and their permeabilities.
6. The state of combination of iron with oxygen and solid solution between iron oxides.

The magnetic permeabilities of  $Fe_3O_4$  and  $FeO$  are determined as 6.27 and 2.43 respectively.

After vacuum heating of the samples at above 600°C, though chemical compositions of the iron oxides do not alter, their permeabilities show the remarkable increase, and the relations between the permeabilities of the reduced iron oxides and the field intensities approach gradually to those of natural magnetic oxide.

Then by the vacuum heatings of reduced and natural iron oxides, there are interesting tendencies between the  $FeO$  contents and permeabilities. Any sample approaches gradually to the theoretical combined state of  $FeO$  and  $Fe_2O_3$ , namely  $Fe_3O_4$ , after the treatments.

Estimating the combined states of oxygen from the above relation, the natural and reduced iron oxides consist partly of the cubic form of  $Fe_3O_4$ , and partly of  $Fe_2O_3 + Fe_3O_4$ ,  $Fe_3O_4 + Fe_2O_3$ ,  $Fe_3O_4 + FeO$ ,  $FeO + Fe_3O_4$ , and  $FeO + Fe$  at the state of solid solution, and  $FeO$  in free state.

By vacuum heating of iron oxide, the cubic form of  $Fe_3O_4$  are disintegrated from these solid solutions and their permeabilities are increased.

\* K. Hasegawa and Y. Gotoh TETSU TO HAGANE, The Journal of the Iron and Steel Institute of Japan. Vol. XIX, No. 8.

## 目 次

- I 緒言。 II 導磁率測定方法。 III 磁鐵礦の導磁率。 IV  $FeO$  の導磁率。 V 各種酸化鐵の導磁率と磁場との關係。 VI 天然磁鐵礦及び還元試料真空加熱。 VII 酸化鐵の含有  $FeO$  と導磁率の關係。 VIII 酸素結合状態と固溶態。 IX 総括

\* 旅順工科大學

## I. 緒 言

著者は先に長谷川熊彦氏との共著“天然及び人工製酸化鐵の酸化還元と磁性”<sup>1)</sup>に於て酸化鐵を  $H_2$  瓦斯、石炭瓦斯  $CO$  瓦斯にて還元して還元成生物と磁性の關係及び還元試料と酸化及び真空加熱した場合の磁性の變化に就きて述

<sup>1)</sup> 長谷川、後藤 鐵と鋼 第十九年 第八號



400°C 240分  $H_2$  瓦斯還元試料は  $Fe_3O_4$  より、更に還元進み分析上  $Fe_3O_4$  なるも實際は一部分不安定なる低級酸化物及び種々の固溶體として存在して居るものと推理され導磁率は著しく小なる値を示して居る。これは分析組合は  $FeO$  及び  $Fe_2O_3$  を組合せ  $Fe_3O_4$  として算入して居るが實際の酸素結合状態は單純に  $Fe_3O_4$  にあらず、後に推理する如く種々の形にて存在して居る爲めである。即ち酸素の結合状態に依り著しく磁性に差異あるものである。後述する如くこれら分析組合せの  $Fe_3O_4\%$  に比して磁性少き試料も真空加熱にて漸次導磁率を増加して居る。

鞍山精鑛は還元せるものと磁鐵鑛の混合物なれば結合状態は全部  $Fe_3O_4$  を示さず、本溪湖磁鐵鑛より小なる値を示して居る。本溪湖磁鐵鑛は最も導磁率高く 700°C 真空加熱せるものは 6.23 を示し 1,000°C に真空加熱するも殆んど變化を示さない。この導磁率値は實驗的に得られる最高値にして完全に  $Fe_3O_4$  の結合状態を示せる磁鐵鑛と云ひ得るが故に 100%  $Fe_3O_4$  の場合の導磁率を求むれば 6.27

になる。即ち磁鐵鑛の導磁率は 6.27 である。

#### IV. $FeO$ の導磁率

$FeO$  は酸化され易く單體として得る事は困難である。天然赤鐵鑛を  $CO$  瓦斯を通じて還元する時は  $Fe_2O_3 \rightarrow Fe_3O_4 \rightarrow FeO$  の變化進行して大部分  $FeO$  に變する。即ち 350°C 300分  $CO$  瓦斯還元試料は  $FeO$  89.18% を含有し導磁率は 2.27 である。この場合は金屬鐵 4.38% と少量の炭素を含有して居るが、 $Fe$  は  $FeO$  に固溶するものと推理し得べく、導磁率は  $FeO$  に依るものと考へられる。即ち  $CO$  瓦斯還元試料の導磁率 2.27 を含有  $FeO$  に依

るものとして 100%  $FeO$  の導磁率を(2)式により計算すれば 2.43 となる。即ち  $FeO$  の導磁率を 2.43 とする。

#### V. 各種酸化鐵の導磁率對磁場の關係

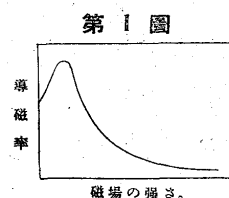
一般に強磁性體の導磁率(permeability)は磁場の強さに従つて第1圖の如く變化するものである。還元にて得たる各種酸化鐵に就き磁場の強さ 55ガウスより 328ガウス迄變化して導磁率を測定すれば第2表及び第2圖の如くなる

第2表 各種酸化鐵の導磁率對磁場の關係

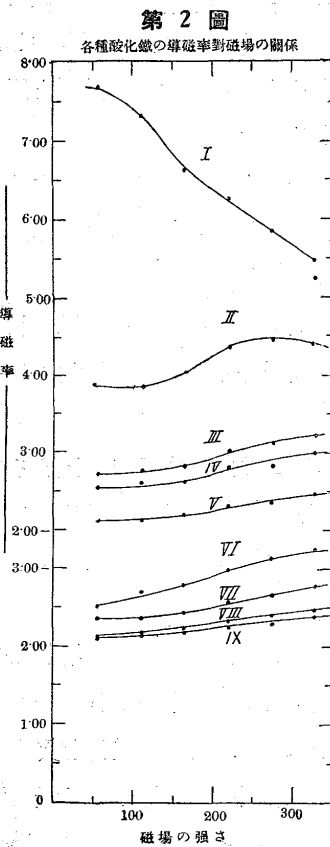
種 別	磁場の強さ (ガウス)	導磁率 $\mu$					
		55	109	164	219	274	328
本溪湖磁鐵鑛。	768	7.31	6.61	6.24	5.83	5.47	
人工 $FeO_3$ 250°C, 90 分 $CO$ 瓦斯還元試料。	3.86	3.82	4.02	4.36	4.45	4.40	
黃梅山赤鐵鑛 400°C, 645分 水素瓦斯還元試料。	2.70	2.75	2.79	3.00	3.10	3.20	
同上 400°C, 250 分	2.52	2.59	2.60	2.78	2.81	2.97	
水素瓦斯還元試料。	2.09	2.11	2.18	2.30	2.36	2.46	
鞍山赤鐵鑛 400°C, 200 分 水素瓦斯還元試料。	2.50	2.69	2.77	2.97	3.12	3.24	
同上 400°C, 100 分 水素瓦斯還元試料。	2.36	2.36	2.43	2.56	2.65	2.77	
同上 350°C, 300 分 $CO$ 瓦斯還元試料。	2.10	2.17	2.18	2.22	2.27	2.37	
同上 400°C, 250 分 $CO$ 瓦斯還元試料。	2.12	2.16	2.20	2.31	2.38	2.47	

圖中 I は本溪湖磁鐵鑛の場合にて第1圖と同様の傾向を有し磁場の強さ 50ガウス附近にて導磁率最大値を示し 100ガウス附近より急に減少し以後殆んど直線的に減少をして居る。曲線 II は人工製  $Fe_2O_3$  250°C 90分  $CO$  瓦斯還元の場合、III. IV. V は黃梅赤鐵鑛水素還元の場合にて夫々 III は 400°C 645分、IV は 400°C 250分、V は 400°C 90分還元の場合である。VI. VII は鞍山赤鐵鑛水素瓦斯還元せるものにて夫々 400°C 200分、400°C 100分還元の場合である。

還元試料は何れの場合も天然磁鐵鑛とは異なる傾向を示し、導磁率は最初磁場の強さと共に増加し II の場合は 270ガウス、III. IV. V の水素還元の場合は 330ガウス附近にて最大導磁率を示して居る。即ち最大導磁率を示す點が漸次 50ガウスより 270ガウス、330ガウスに移動せるものと考へられる。これは後述する如く還元試料は完全に  $Fe_3O_4$  の形にて存在せず一部遊離  $FeO$  固溶  $FeO$  及び  $Fe_2O_3$  として存在する爲である。而して人工  $Fe_2O_3$   $CO$  瓦斯還元の場合は殆んど  $Fe_3O_4$  の形にて一部  $FeO$ ,  $Fe_2O_3$  が固溶するのみにて遊離  $FeO$  は考へられず、從つて天然磁鐵鑛と水素還元せし場合の中間の傾向を示して居



第1圖



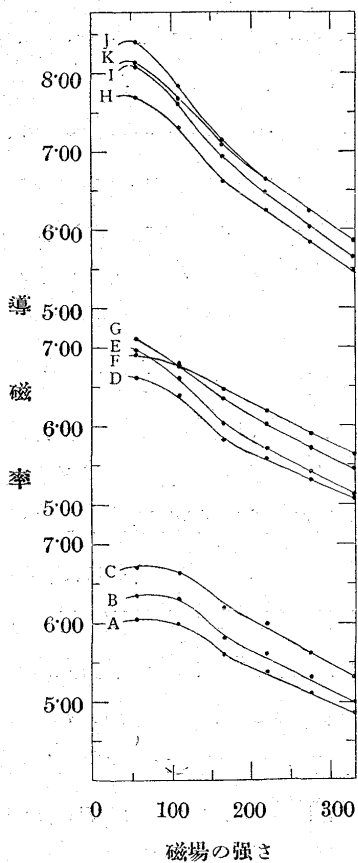
第2圖 各種酸化鐵の導磁率對磁場の關係

る。VIII, IX は夫々  $400^{\circ}\text{C}$  250 分、 $350^{\circ}\text{C}$  300 分  $\text{CO}$  瓦斯還元せし場合にて最初 150 ガウス迄は導磁率の増加は緩慢であるが 160 ガウスより急になり 350 ガウス附近にて最大導磁率を示すものと考へられる。 $400^{\circ}\text{C}$   $\text{CO}$  瓦斯還元の場合は分析より見るに殆んど  $\text{FeO}$  にて、真空加熱せる場合も  $\text{Fe}_3\text{O}_4$  の場合と異り  $600^{\circ}\text{C}$  にて磁氣變態を示さず  $\text{FeO}$  と見做し得べき試料である。故に  $\text{FeO}$  の場合の導磁率對磁場の關係は VIII の如く變化するものと考へられる。

即ち天然磁鐵鑛は 50 ガウス附近にて最大導磁率を示し以後磁場の增加に従ひ減少して居るが  $\text{FeO}$  は磁場の増加に従ひ導磁率を徐々に増加し 350 ガウス附近にて最大値を示して居る。 $\text{H}_2$  瓦斯還元試料及び人工  $\text{Fe}_2\text{O}_3$   $\text{CO}$  瓦斯還元試料は兩者の中間にて 270, 330 ガウス附近にて最大導磁率を示して居る。

## VI. 天然磁鐵鑛及び還元試料真空加熱

1. 天然磁鐵鑛真空加熱 天然磁鐵鑛としては本溪湖磁鐵鑛、本溪湖燒富鑛、鞍山精鑛 100~80 目のものを用ふ本溪湖燒富鑛、鞍山精鑛は還元、酸化處理せるものにて準天然磁鐵鑛と見るべきものである。分析結果次の如し。



第 3 圖 天然磁鐵鑛真空加熱後導磁率對磁場の關係  
種 別 金屬  $\text{FeO}$   $\text{Fe}_2\text{O}_3$   $\text{Fe}_3\text{O}_4$   
本溪湖燒富鑛 71.85 0.09 0 99.20  
本溪湖燒富鑛 71.92 0 1.14 93.29  
鞍山精鑛 72.26 0 0.16 99.71  
 $650^{\circ}\text{C}, 800^{\circ}\text{C}, 1,000^{\circ}\text{C}$  にて 1 時間真空加熱し導磁率對磁場の強さの關係を求むれば第 3 圖及び第 4 表の如き結果を得る。

圖中 A, B, C は本溪湖燒富鑛の場合にて B, C は夫々  $650^{\circ}\text{C}, 1,000^{\circ}\text{C}$  にて真空加熱せし場合 D, E, F, G は鞍山精鑛の場合に

て E, F, G は夫々  $650^{\circ}\text{C}, 800^{\circ}\text{C}, 1,000^{\circ}\text{C}$  にて真空加熱せし場合 H, I, J, K は本溪湖精鑛の場合にて I, J, K は夫々  $650^{\circ}\text{C}, 700^{\circ}\text{C}, 1,000^{\circ}\text{C}$  真空加熱せし場合を示して居る。何れの場合も真空加熱により導磁率を増加して、最大導磁率を示す點が多少左に移動して居る。且し何れも  $1,000^{\circ}\text{C}$  真空加熱の場合は最大導磁率の點が右に移動して居る。これは  $1,000^{\circ}\text{C}$  加熱にて多少  $\text{Fe}_2\text{O}_3$  が分解する爲と考へられる。

第 4 表 天然磁鐵鑛の真空加熱と導磁率

種別	磁場の強さ (ガウス)	導磁率 $\mu$					
		55	109	164	219	274	328
本溪湖燒富鑛	6.03	5.98	5.59	5.38	5.11	4.85	
同上 $650^{\circ}\text{C}$	6.34	6.30	5.79	5.60	5.31	5.00	
同上 $650^{\circ}\text{C}$	6.70	6.62	6.19	5.97	5.61	5.30	
鞍山精鑛	6.60	6.38	5.81	5.59	5.30	5.06	
同上 $650^{\circ}\text{C}$	6.95	6.61	6.02	5.69	5.41	5.11	
同上 $800^{\circ}\text{C}$	7.10	6.75	6.35	6.02	5.71	5.46	
同上 $1,000^{\circ}\text{C}$	6.91	6.78	6.46	6.18	5.88	5.65	
本溪湖磁鐵鑛	7.68	7.31	6.61	6.24	5.83	5.47	
同上 $650^{\circ}\text{C}$	8.08	7.60	6.93	6.47	6.02	5.64	
同上 $700^{\circ}\text{C}$	8.40	7.84	7.12	6.64	6.23	5.85	
同上 $1,000^{\circ}\text{C}$	8.12	7.66	7.09	6.62	6.20	5.85	

鞍山精鑛は本溪湖磁鐵鑛より導磁率少く導磁率對磁場の強さの關係も本溪湖燒富鑛と同形にて本溪湖磁鐵鑛とは異つて居るが  $800^{\circ}\text{C}$  にて真空加熱すれば導磁率も同値となり、導磁率磁場の強さの關係も殆ど同様になる。即ち加熱により本溪湖磁鐵鑛に近づくを見る。鞍山精鑛は還元鑛と天然磁鐵鑛の混合物にして後述の如く種々の固溶體存在し、これが真空加熱により  $\text{Fe}_3\text{O}_4$  となる爲天然磁鐵鑛と同様の導磁率を示すに至るのである。

一般に天然磁鐵鑛は完全に  $\text{Fe}_3\text{O}_4$  をなさず後述する如く種々の固溶體を含有し、この爲め真空加熱により導磁率の増加を示して居る。

2. 還元試料真空加熱 還元試料を  $650^{\circ}\text{C}$  にて真空加熱すれば第 5 表に示す如く何れの場合も導磁率の増加を示して居る。

$\text{H}_2$  瓦斯還元試料真空加熱せる場合は分析結果を見るに殆んど變化なきに拘らず導磁率の増加を示して居る。これは後述する如く酸素結合状態變化して  $\text{Fe}_3\text{O}_4$  立方體を生成する爲である。

$\text{CO}$  瓦斯還元試料真空加熱せる場合の導磁率の増加は分析より明かなる如く金屬鐵の分離によるものである。

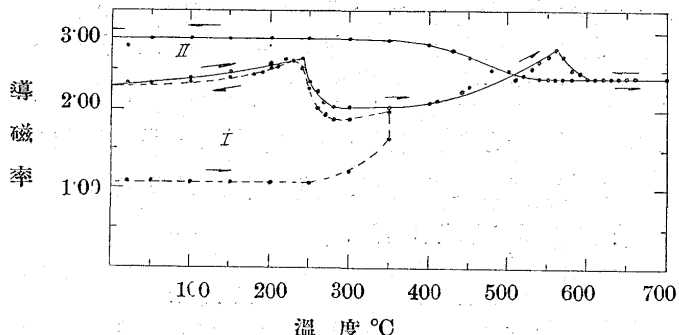
鞍山赤鐵鑛  $350^{\circ}\text{C}$  250 分  $\text{CO}$  瓦斯還元試料を真空加熱しつゝ導磁率を測定すれば第 4 圖の如く導磁率は最初還元冷却曲線 I に沿ふて増し  $230^{\circ}\text{C} \sim 270^{\circ}\text{C}$  にて急に減少

第5表 還元試料真空加熱と導磁率

種別	分析結果					組合結果	導磁率 $\mu$
	全鐵	金屬鐵	$Fe_2O_3$	$FeO$	$Fe_3O_4$		
黃梅山赤鐵鑛 350°C 90分 $H_2$ 瓦斯還元	69.75	0.47	84.32	13.26	42.75	54.83	0 1.7
同上 650°C 真空加熱	70.83	0.38	85.23	13.94	44.94	54.23	0 2.08
同上 400°C 90分 $H_2$ 瓦斯還元。	71.92	0.45	72.85	26.40	85.08	14.17	0 2.49
同上 650°C 真空加熱	71.90	0.27	72.79	26.66	85.91	13.54	0 3.55
鞍山赤鐵鑛 400°C 200分 $H_2$ 瓦斯還元	71.68	2.23	56.10	38.87	81.34	0 13.62	3.12
同上 650°C 真空加熱	71.69	0.82	60.69	36.56	87.99	0 9.26	3.81
鞍山赤鐵鑛 400°C 250分 $CO$ 瓦斯還元	73.02	2.10	2.60	91.60	3.77	0 90.43	3.38
同上 700°C 真空加熱	78.76	15.84	0.86	80.17	1.25	0 79.78	3.09
鞍山赤鐵鑛 350°C 300分 $CO$ 瓦斯還元	73.70	4.38	0	89.18	0	0 89.18	2.27
同上 700°C 真空加熱	80.84	20.13	0	78.10	0	0 78.10	3.00
鞍山赤鐵鑛 350°C 120分 $CO$ 瓦斯還元	71.14	2.34	35.43	56.63	51.37	0 40.63	2.32
同上 700°C 真空加熱	73.48	1.78	22.78	71.75	33.02	0 61.51	2.52

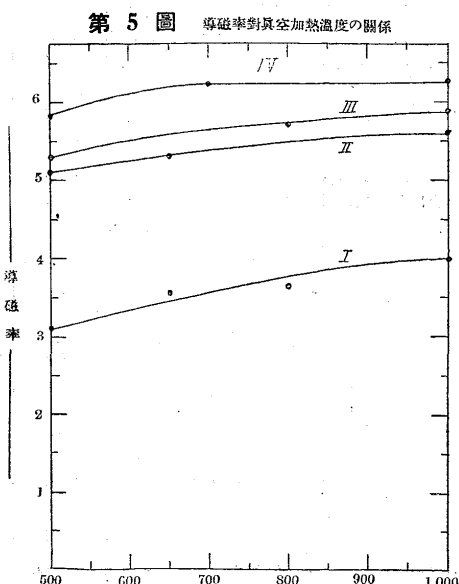
第4圖 鞍山赤鐵鑛 350°C 300分  $CO$  瓦斯還元

試料真空加熱と導磁率の関係

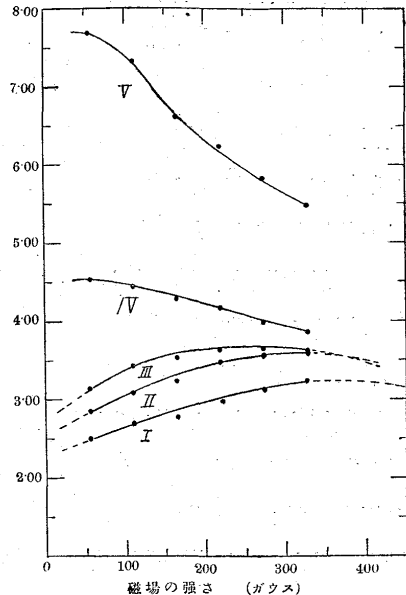


し 400°C より再び増加し始め 560°C にて最大値を示し、600°C にて少し減少し以後 700°C 迄は一定である。即ち本試料は分析結果より明かなる如く大部分  $FeO$  にて 600°C に於ける導磁率の僅かの減少は  $Fe_3O_4$  の磁氣變態によるものにして  $FeO$  は 700°C 迄は磁氣變態をしない。

CO 瓦斯還元試料には多少炭化物及び遊離炭素の存在を認め得べく 230°C ~ 270°C に於ける導磁率の変化はこの炭化物に起因するものならん。この點并に  $FeO$  の磁氣變態に關しては後日詳述すべし。



第6圖 環元試料真空加熱後導磁率對磁場の關係



第4圖 I は 350°C 250分  $CO$  瓦斯還元せる場合の還元並びに冷却と導磁率の関係を示せるものにして既に前論文<sup>1)</sup>に詳述せし故説明を省略する。

3. 真空加熱溫度の影響 既に説明せし如く水素瓦斯還元試料を 500°C 以下にて真空加熱するも磁性の増加を示さないが、600°C 以上加熱する時は増加を示して居る。

西鞍山赤鐵鑛 400°C 200分  $H_2$  瓦斯還元試料及天然磁鐵鑛を 650°C, 800°C, 1,000°C に夫々 1 時間真空加熱後導磁率を測定すれば第5圖の如くなる。(第6表 274 ガウスの項参照)

圖中 I は還元試料の場合、II. III は本溪湖燒富鑛、鞍山精鑛(第9表参照)の場合である。天然磁鐵鑛は還元試料に比して真空加熱に依る導磁率の増加僅少である。650°C 真空加熱にて著しく増加を示し、以後の加熱に於ては増加僅少にて 1,000°C 以上は殆んど一定するものと考へられる。IV は本溪湖磁鐵鑛の場合にて 700°C 以上は一定である。

鞍山赤鐵鑛 400°C 200分  $H_2$  瓦斯還元試料を 650°C, 800°C, 1,000°C に夫々 1 時間真空加熱後磁場の強さと導磁率の関係を求むれば第6圖及び第6表の如くなる。

第6表 還元試料真空加熱後導磁率對磁場の關係

種別	磁場の強さ (ガウス)					導磁率 $\mu$
	55	109	164	219	274	
西鞍山赤鐵鑛 400°C 200分 $H_2$ 瓦斯還元試料	2.50	2.69	2.77	2.97	3.12	3.24
同上 650°C 1 時間真空加熱	2.84	3.07	3.23	3.47	3.56	3.58
同上 800°C 1 時間真空加熱	3.14	3.43	3.53	3.64	3.65	3.61
同上 1,000°C 1 時間真空加熱	4.54	4.44	4.28	4.17	3.99	3.86

<sup>1)</sup> 長谷川、後藤 鐵と銅第十九年第八號

圖中 I は還元試料の場合、II, III, IV 夫々  $650^{\circ}\text{C}$ ,  $800^{\circ}\text{C}$ ,  $1,000^{\circ}\text{C}$  にて 1 時間真空加熱せし場合を示して居る。點線は推理により延長せるものである。

還元試料及び還元後  $650^{\circ}\text{C}$  真空加熱試料の導磁率は磁場の強さを増すに従つて増加し、夫々 270 ガウス及び 220 ガウス以上は増加僅少になり夫々 350 ガウス及び 330 ガウス附近にて最大導磁率を示すものと考へられる。 $800^{\circ}\text{C}$  真空加熱の場合の導磁率は 180 ガウス迄は磁場の強さと共に急に増加し、270 ガウス附近にて最大値を示して居る。 $1,000^{\circ}\text{C}$  真空加熱せる場合の導磁率は磁場の強さ増加するに従ひ初は緩かに次第に急に減少し、還元試料加熱前とは逆の傾向を示して居る。この場合は 50 ガウス附近に導磁率最大の點ありて磁場の強さ増すに従つて減少して居るものと考へられる。

以上述べし如く導磁率對磁場の強さの關係曲線に於て最大導磁率を示す點が還元試料の場合は 350 ガウス附近、 $650^{\circ}\text{C}$  真空加熱せる場合は 330 ガウス附近、 $800^{\circ}\text{C}$  真空加熱せる場合は 270 ガウス、 $1,000^{\circ}\text{C}$  真空加熱の場合には 50 ガウス附近にて真空加熱に依りて漸次左に移動して居るを見る。天然磁鐵  
鑛の導磁率對磁場の強さの關係を見るに、V の如く 50 ガウス附近にて最大値を示し以後磁場の強さの增加に従つて急に減少して居る。前述せる如く還元試料の導磁率と磁場の強さの關係は真空加熱と共に漸次天然磁鐵鑛のそれに近づく傾向を示して、 $1,000^{\circ}\text{C}$  真空加熱後は殆んど同様の傾向を示して居る。

還元試料は單純に  $\text{Fe}_3\text{O}_4$  立方體とならず、後述する如く遊離  $\text{FeO}$  及び固溶  $\text{Fe}_1, \text{FeO}$ ,  $\text{Fe}_2\text{O}_3$  を存在して居る(即ち種々の低級酸化

物を含有する事となる)故に導磁率も少く第 6 圖 I の如き導磁率對磁場の強さの關係を示して居るが、真空加熱すれば酸素結合狀態整備されて  $\text{Fe}_3\text{O}_4$  立方體となり導磁率を増加し、導磁率對磁場の強さの關係及び導磁率の値が天然磁鐵鑛の場合に近づく、即ち還元試料も  $1,000^{\circ}\text{C}$  にて長時間真空加熱すれば天然磁鐵鑛と同様の酸素結合狀態を示すに至り、大部分  $\text{Fe}_3\text{O}_4$  となり導磁率も同様の値を有するに至るものと考へられる。

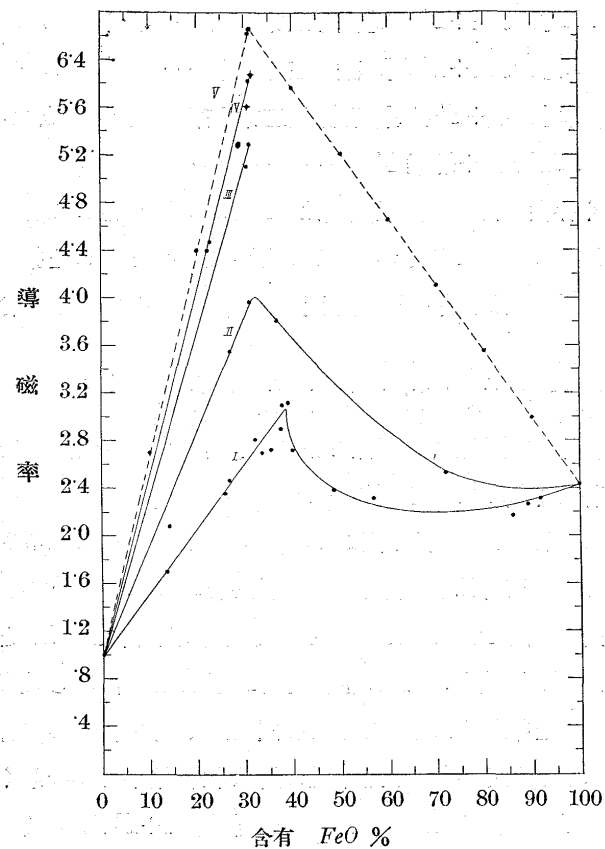
## VII. 酸化鐵の含有 $\text{FeO}$ と導磁率の關係

赤鐵鑛を  $\text{H}_2$  瓦斯、石炭瓦斯、 $\text{CO}$  瓦斯にて還元して得た酸化鐵及び天然磁性酸化鐵の導磁率を測定して導磁率と含有  $\text{FeO}$  との關係を求むれば第 7 表及び第 7 圖の様になる。

圖中 I は還元試料の場合、II は還元試料  $650^{\circ}\text{C}$ 、真空加熱の場合、III は天然磁鐵鑛還元酸化處理せる場合、IV は天然磁鐵鑛の場合、V は  $\text{Fe}_2\text{O}_3$  及び  $\text{FeO}$  は全部化合して  $\text{Fe}_3\text{O}_4$  となり、殘剩の  $\text{Fe}_2\text{O}_3$ ,  $\text{FeO}$  は遊離狀態に存在する理論的場合を考へ、その導磁率を  $\text{FeO}$  及び  $\text{Fe}_3\text{O}_4$

第 7 表 酸化鐵含有  $\text{FeO}$  と導磁率の關係

種 別	分析結果						組合結果			$\mu$
	全鐵	金屬鐵	$\text{Fe}_2\text{O}_3$	$\text{FeO}$	$\text{Fe}_3\text{O}_4$	$\text{Fe}_2\text{O}_3$	$\text{FeO}$	$\text{Fe}_3\text{O}_4$	$\text{Fe}_2\text{O}_3$	
黃梅山赤鐵鑛 $350^{\circ}\text{C}$ 90 分 $\text{H}_2$ 瓦斯還元	69.75	0.47	84.82	13.26	72.75	54.83	—	1.70	—	
同 $400^{\circ}\text{C}$ 90 分 $\text{H}_2$ 瓦斯還元	71.36	0.61	72.79	25.52	82.25	16.06	—	2.36	—	
同 上	71.92	0.45	72.85	26.40	85.08	14.17	—	2.49	—	
黃梅山赤鐵鑛 $400^{\circ}\text{C}$ 250 分 $\text{H}_2$ 瓦斯還元	71.61	1.00	65.29	32.10	94.65	—	—	2.74	2.81	
西鞍山赤鐵鑛 $400^{\circ}\text{C}$ 100 分 $\text{H}_2$ 瓦斯還元	71.38	2.19	61.67	33.53	89.42	—	—	5.78	2.70	
黃梅山赤鐵鑛 $350^{\circ}\text{C}$ 680 分 $\text{H}_2$ 瓦斯還元	71.79	1.31	61.98	35.42	89.42	—	—	7.56	2.73	
同 $400^{\circ}\text{C}$ 645 分 $\text{H}_2$ 瓦斯還元	72.51	5.08	54.59	37.63	79.15	—	—	13.07	3.10	
西鞍山赤鐵鑛 $450^{\circ}\text{C}$ 石炭瓦斯還元	71.40	2.07	57.49	37.50	83.35	—	—	11.62	2.90	
同 $400^{\circ}\text{C}$ 200 分 $\text{H}_2$ 瓦斯還元	71.68	2.23	56.10	38.87	81.34	—	—	13.62	3.12	
同 $400^{\circ}\text{C}$ 160 分 石炭瓦斯還元	71.18	1.64	55.19	39.80	80.20	—	—	14.97	2.72	
同 $400^{\circ}\text{C}$ 80 分 $\text{CO}$ 瓦斯還元	71.72	1.42	46.72	48.40	67.74	—	—	27.40	2.39	
同 $350^{\circ}\text{C}$ 250 分 $\text{CO}$ 瓦斯還元	74.04	1.56	7.99	86.05	11.59	—	—	82.45	2.18	
同 $350^{\circ}\text{C}$ 300 分 $\text{CO}$ 瓦斯還元	73.70	4.38	—	89.18	—	—	—	89.18	2.27	
同 $350^{\circ}\text{C}$ 120 分 $\text{CO}$ 瓦斯還元	71.74	2.34	35.43	56.63	51.37	—	—	40.68	2.32	
同 $400^{\circ}\text{C}$ 250 分 $\text{CO}$ 瓦斯還元	73.02	2.10	2.60	91.60	3.77	—	—	90.43	2.32	
還元試料真空加熱:										
黃梅山赤鐵鑛 $350^{\circ}\text{C}$ 90 分 $\text{H}_2$ 瓦斯還元	70.83	0.38	85.23	13.94	44.94	54.23	—	2.08	—	
同 $400^{\circ}\text{C}$ 90 分 $\text{H}_2$ 瓦斯還元	71.90	0.27	72.79	26.66	85.91	13.54	—	3.55	—	
同 $400^{\circ}\text{C}$ 240 分 $\text{H}_2$ 瓦斯還元	71.79	0.20	68.08	30.85	98.68	—	0.24	3.97	—	
鞍山赤鐵鑛 $400^{\circ}\text{C}$ 200 分 $\text{H}_2$ 瓦斯還元	71.69	0.82	60.69	36.56	87.99	—	—	9.26	3.81	
同 $350^{\circ}\text{C}$ 120 分 $\text{CO}$ 瓦斯還元	73.48	1.73	22.78	71.75	33.02	—	—	61.51	2.53	
700°C 真空加熱										
天然磁鐵鑛:										
本溪湖磁鐵鑛	71.85	—	68.46	30.84	99.26	—	—	0.04	5.83	
大嶺溝磁鐵鑛(精鑛)	63.98	—	66.36	22.60	72.83	16.13	—	4.47	—	
大嶺溝磁鐵鑛(精鑛)	61.71	—	63.78	22.00	70.90	14.88	—	4.40	—	
本溪湖磁鐵鑛 $700^{\circ}\text{C}$ 真空加熱	71.89	—	68.46	30.89	99.26	—	—	0.09	6.23	
天然磁鐵鑛還元、酸化處理せる場合:										
鞍山精鑛	72.26	—	68.93	30.94	99.71	0.16	—	5.30	—	
本溪湖燒富鑛	71.92	—	68.93	30.50	98.29	1.14	—	5.11	—	
鞍山精鑛 $1,000^{\circ}\text{C}$ 真空加熱	72.18	—	63.36	31.35	99.12	—	—	0.59	5.88	
本溪湖燒富鑛 $1,000^{\circ}\text{C}$ 真空加熱	71.94	—	68.74	30.70	98.93	0.51	—	5.61	—	

第7圖 酸化鐵の含有  $FeO$  と導磁率の關係

の導磁率より(2)式により計算して得た第8表の値を圖示せるものである。即ちVの場合は $Fe_3O_4$ - $Fe_2O_3$ 及び

第8表 理論的結合状態に於ける含有  $FeO$  と導磁率の關係

全 $FeO$ %	理論的組成			導磁率 $\mu$
	$Fe_3O_4$	$FeO$	$Fe_2O_3$	
10	32.2	—	67.8	2.70
20	64.4	—	35.6	4.40
30	100.0	—	—	6.27
40	87.0	13.0	—	5.77
50	72.5	27.5	—	5.21
60	58.0	42.0	—	4.66
70	43.5	56.5	—	4.10
80	29.0	71.0	—	3.55
90	1.45	85.5	—	2.99
100	—	100.0	—	2.43

$FeO$ 量の増加と共に直線的に減少して居る。之れ假想線である。

還元試料の導磁率對含有  $FeO$  の關係は理論的場合と趣を異にし、圖中Iの如く最初直線的に導磁率を増加し38%  $FeO$ にて最大導磁率を示し以後  $FeO$ の増加と共に急に減少し、70%  $FeO$ 附近にて最小値を示し、以後再び少し増加して居る。還元試料を真空加熱する時はIIの如く變化す。即ち還元試料にては一部  $Fe_2O_3$ ,  $FeO$ は遊離又は固溶體として存在し磁性を示さざるも、加熱により酸素結合状態整備され  $Fe_3O_4$ の立方體を得るが故である。導

磁率最大點はIに於ては  $FeO$  38%、IIに於ては 32%、III, IVは31%にて漸次理論的場合の31%に接近し、導磁率の最大値も漸次増大して居る。

天然磁鐵礦にては固溶體  $[Fe_2O_3+Fe_3O_4]$ ,  $[Fe_3O_4+Fe_2O_3]$ ,  $[Fe_3O_4+FeO]$ を考へ得べくこの固溶體の爲めにIVの如く同じ  $FeO$  含有量に對してVの場合より低き導磁率を示して居る。

鞍山精鐵及び本溪湖燒富鐵は共に還元酸化處理せるものにして天然磁鐵礦より導磁率少くIIIの如くなり、天然磁鐵礦と還元試料の中間の傾向を示して居る。天然磁鐵礦を700°C 真空加熱すれば固溶體は解離作用を起し理論的結合状態を示すに至り導磁率對含有  $FeO$  の關係はVに接近するも、天然磁鐵礦を還元酸化處理せるものは種々複雜なる結合状態を示し800°C 加熱にても理論的状態を示さず、加熱により漸次接近して1,000°C 加熱後は天然磁鐵礦の直線IVの上へ乗る様になる。

酸化鐵の導磁率對含有  $FeO$  の關係は理論的全部  $Fe_3O_4$ 立方體を形成すればVの如く變化すべきであるが、一般に天然磁鐵礦及び還元試料に於ては單純に  $Fe_3O_4$  方立體をなさず次章にて詳述する如く種々の固溶體を形成し、分析組合上の  $Fe_3O_4$  % より著しく導磁率小にして還元試料は38%  $FeO$ の場合、天然磁鐵礦は31%  $FeO$ にて最大導磁率を示して理論的の場合とは趣を異にして居るが、これを650°C以上真空加熱すれば固液體は解離作用を起し  $Fe_3O_4$  立方體を形成して導磁率を増し、漸次理論的場合Vに接近する傾向を示して居る。

## VIII. 酸素結合状態と固溶體

酸化鐵の存在し得る状態を擧ぐれば次の如し、

天然完全化合物系

1.  $Fe_2O_3$  非磁性斜方晶系

2.  $Fe_3O_4$  磁性正方晶系

天然固溶體系

3.  $[Fe_2O_3+Fe_3O_4]$  非磁性斜方晶系

4.  $[Fe_3O_4+Fe_2O_3]$  磁性正方晶系 Martite

還元により生ずる固溶體系

5.  $[Fe_3O_4+FeO]$  磁性正方晶系

6.  $[Fe_2O_3+FeO]$  非磁性斜方晶系

7.  $[FeO+Fe_3O_4]$  弱磁性正方晶系

8.  $[Fe_3O_4+Fe]$  磁性方晶系

9.  $[FeO + Fe]$  弱磁性正方晶系

10.  $[Fe + FeO]$  磁性正方晶系

天然單體として考へ得る酸化状態

11.  $Fe_2O_3; Fe_3O_4$

還元により單體として考へ得る酸化状態

12.  $Fe_3O_4; Fe_2O_3; FeO$

13.  $Fe_3O_4 - FeO$  低級酸化物

14.  $FeO - Fe$  低級酸化物

還元後真空加熱により固溶體より分離し得る單態

15.  $Fe_2O_3; Fe_3O_4; FeO$  磁性正方晶系

本實驗の結果酸化鐵の化合状態を次の如く推論し得る。

磁鐵礦と名付けらるゝも必ずしも純  $Fe_3O_4$  と限らず固溶體  $[Fe_2O_3 + Fe_3O_4]$ ,  $[Fe_3O_4 + Fe_2O_3]$ ,  $[Fe_3O_4 + FeO]$  を含有する。何となれば真空加熱に依り導磁率を増加し、又磁場對導磁率曲線を變化する事より明かである。本溪湖磁鐵礦は本實驗にて得られた最純試料で、更に  $700^{\circ}\text{C}$  真空加熱せるものは最も安定せる酸素結合状態である。本實驗にて得られた結果天然磁鐵礦の本質は次の如きものとなる。

試料分析結果 全鐵 71.89  $Fe_3O_4$  99.26

最大導磁率 55 ガウス磁場にて 8.12

274 ガウス磁場に於ける導磁率 6.23

鞍山精鑛、本溪湖燒富礦は大部分  $Fe_3O_4$  の結合状態にあるは明かなるも還元及び酸化處理により一部結合状態變化せる爲導磁率を減少して居る。之等を對照して存在を推論し得る。

$Fe_2O_3$  と  $FeO$  は化合する時完全に  $Fe_3O_4$  を形成するも、

$Fe_3O_4$  磁性正方晶系  $\leftrightarrow Fe_2O_3 \cdot FeO$

$\leftrightarrow [Fe_2O_3 + Fe_3O_4]$  非磁性斜方晶系 ······ (1)

$\leftrightarrow [Fe_3O_4 + Fe_2O_3]$  磁性正方晶系 ······ (2)

$\rightarrow [Fe_3O_4 + FeO]$  磁性正方晶系 ······ (3)

$\leftrightarrow [FeO + Fe_3O_4]$  弱磁性正方晶系 ······ (4)

$\leftrightarrow Fe_3O_4 + 遊離 FeO$  ······ (5)

の如く存在し得。天然磁鐵礦は(1)(2)(3)の形にて存在し還元酸化處理せるものは(4)の形をも存するものと推理し得。 $FeO$  は不安定なれば天然状態にては遊離  $FeO$  は存在し得ず。

本溪湖磁鐵礦、鞍山精鑛、本溪湖燒富礦は何れの場合も分析組合結果は殆んど同様であるが、(第9表参照)導磁率は著しく異つて居る。

これは磁鐵礦の導磁率は  $Fe_3O_4$  磁性正方晶系に依るものにして前三者は皆酸素結合状態を異にし、この  $Fe_3O_4$  の量異つて居る爲である。即ち  $Fe_3O_4$  の導磁率を 6.27 として天然磁鐵礦中の  $Fe_3O_4$  量を(2)式により計算し酸素結合状態を推論すれば第9表の如くなる、即ち何れの場合も表に示す如く  $Fe_3O_4$  立方體の量は組合結果より少なく残剩の  $FeO$  及び  $Fe_2O_3$  は固溶體  $[Fe_2O_3 + Fe_3O_4]$  及び  $[Fe_3O_4 + FeO]$  として存在するものと推論される。600°C 以上真空加熱する時はこの固溶體解離作用を起し、強磁性  $Fe_3O_4$  立方體を形成し磁性を増加して居る。

本溪湖磁鐵礦は  $700^{\circ}\text{C}$  以上真空加熱するも導磁率殆んど變化なく、 $700^{\circ}\text{C}$  にて全部  $Fe_3O_4$  に結合するものと推論される。而して鞍山精鑛及び本溪湖燒富礦は  $650^{\circ}\text{C}$  真空加熱にて固溶體  $FeO$  及び  $Fe_2O_3$  の一部分  $Fe_3O_4$  に結合するのみにて加熱溫度上昇につれ漸次結合して磁性を増し  $1,000^{\circ}\text{C}$  にても尙多少  $FeO$  及び  $Fe_2O_3$  を固溶體として殘存して居るものと推論される。前述せし如く  $1,000^{\circ}\text{C}$

第9 天然磁鐵礦及び還元試料酸素結合状態

種 別	分析結果				組合せ結果			推理せる結合状態			導磁率 $\mu$	
	全鐵	金屬鐵	$FeO$	$Fe_2O_3$	$FeO$	$Fe_2O_3$	$Fe_3O_4$	固溶 $FeO$	固溶 $Fe_2O_3$	$Fe_3O_4$	遊離 $FeO$	
本溪湖精鑛	71.85	—	30.84	68.46	0.04	—	99.26	2.40	5.24	91.65	—	5.83
同 上	700°C 真空加熱	71.89	—	30.89	68.46	0.09	—	99.26	0.09	—	99.26	—
同 上	1,000°C 真空加熱	72.03	—	31.17	68.34	0.42	—	99.04	0.42	—	99.04	—
鞍山精鑛	72.26	—	30.94	68.93	—	0.16	99.71	5.62	12.63	81.59	—	5.30
同 上	800°C 真空加熱	72.22	—	31.12	68.67	0.23	—	99.56	3.39	7.03	89.37	—
同 上	1,000°C 真空加熱	72.18	—	31.35	68.36	0.59	—	99.12	2.62	4.49	92.60	—
本溪湖燒富礦	71.92	—	30.50	68.93	—	1.14	98.29	5.68	15.76	77.99	—	5.11
同 上	650°C 真空加熱	71.80	—	30.97	68.24	0.27	—	98.94	5.59	11.84	81.78	—
同 上	1,000°C 真空加熱	71.94	—	30.70	68.74	—	0.51	98.93	3.56	8.40	87.48	—
鞍山赤鐵礦	400°C 200分 $H_2$ 還元	71.68	2.23	38.87	56.10	13.62	—	81.34	12.28	31.24	36.05	15.40
同 上	1,000°C 真空加熱	72.44	0.95	41.40	56.21	16.11	—	81.59	23.80	17.07	56.74	—
鞍山赤鐵礦	350°C 300分 $CO$ 瓦斯還元	73.70	4.38	89.18	—	89.18	—	—	—	—	—	2.27
同 上	700°C 真空加熱	80.84	20.13	78.10	—	78.10	—	—	—	—	—	3.00

にては多少  $Fe_2O_3$  分解する故、これを避ける爲 1,000°C 以下にて長時間加熱すれば鞍山精鑛、本溪湖燒富鑛の場合も固溶體  $FeO$ ,  $Fe_2O_3$  が全部結合して  $Fe_3O_4$  となるべきである。

次ぎに還元試料の酸素結合状態を考へる。松原氏<sup>3)</sup>は  $Fe_2O_3$  の微細なる粉末を反応室に入れ、CO 瓦斯を密封して一定温度に長時間反応を起さすれば最初  $Fe_2O_3$  と  $Fe_3O_4$  の固溶體成生し酸化鐵中の酸素の量 800°C の時 28% ( $Fe_3O_4$  は酸素量 27.6%) に減少すれば  $FeO$  が出来て固溶し遂に  $FeO$  が相をなすに至り、 $FeO$  は  $Fe_3O_4$  を飽和しここに  $FeO$  中の  $Fe_3O_4$  固溶體と  $Fe_3O_4$  中に於ける  $FeO$  固溶體が共存し  $Fe_3O_4$  が次第に減少し遂に固體相は  $FeO$  中に於ける  $Fe_3O_4$  飽和固溶體のみとなり逆に Fe が出来て  $FeO$  を以て飽和した Fe と  $FeO$  を以て飽和した  $FeO$  との二種の固溶體が存在し  $FeO$  が次第に減少し遂に Fe 中に於ける  $FeO$  飽和固溶體のみとなり、これより後は  $FeO$  が次第に Fe に變ると述べて居る。

本實驗は  $H_2$  瓦斯、CO 瓦斯氣流中にて還元せし場合にて上の場合は趣を異にするも、低溫度にて部分的に上の事柄が起るものにして還元の初に於ては  $Fe_2O_3 \rightarrow Fe_3O_4$  の變化起り、一部  $Fe_3O_4 \rightarrow FeO$  の變化進行しても  $FeO$  は大部分  $Fe_3O_4$  に固溶され磁性は主に  $[Fe_3O_4 + FeO]$  固溶體及び遊離  $FeO$  に依るものにして、この  $Fe_3O_4$  量が最大に達する迄は導磁率は含有  $FeO$  の增加に従ひ第 7 圖の曲線 I に示す如く直線的に增加するが、更に  $FeO$  増し一部分固溶體  $[FeO + Fe_3O_4]$  を形成するに至れば導磁率は急に減少し、 $Fe_3O_4 \rightarrow FeO$  の變化進行して  $FeO$  更に増せば  $Fe_3O_4$  は全部固溶され曲線 I に示す如く導磁率最小を示し、以後固溶  $Fe_3O_4 \rightarrow FeO$  の變化起り  $FeO$  増加し導磁率は少し増加するものと推理される。即ち圖中直線部分は固溶體  $[Fe_2O_3 + Fe_3O_4]$ ,  $[Fe_3O_4 + FeO]$ ,  $[Fe_3O_4 + FeO]$  及び遊離  $FeO$  より成り、曲線部分は固溶體  $[Fe_3O_4 + FeO]$ ,  $[FeO + Fe_3O_4]$ ,  $[FeO + Fe]$  より成ることを示して居る。650°C 以上真空加熱すればこれら固溶體が解離作用を起し理論的磁性を示し導磁率増加し最大導磁率を示す  $FeO$  % 減じ 32% になる、更に加熱すれば順次理論的場合 V に接近すべきである。

以上の事柄より明かなる如く各種還元にて得られる酸化鐵の状態は常温にては固溶體  $[Fe_2O_3 + Fe_3O_4]$ ,  $[Fe_3O_4 + Fe_2O_3]$ ,  $[Fe_3O_4 + FeO]$ ,  $[FeO + Fe_3O_4]$ ,  $[FeO + Fe]$  及び遊離  $FeO$  の如きものと云ひ得。 $FeO$  以下の低級酸化物も亦還元の場合は存在し得るも  $Fe_{10}O_9$  及び  $Fe_{10}O_8$  の如き低級酸化物は  $Fe \cdot 9(FeO)$  及び  $2Fe \cdot 8(FeO)$  の如き

ものに分解さるべきものに過ぎぬ、換言すれば  $FeO$  中に鐵分を固溶體として存するもので又反対に鐵中に  $FeO$  を固溶體として存するものである。本實驗の場合は還元鐵極めて少き爲め  $FeO$  側を主體となし得る。

$Fe_2O_3$  の導磁率は 1 なる爲前述多數の實驗に得らる導磁率値は  $Fe_3O_4$  及び  $FeO$  の混合導磁率である。

酸化鐵の形は、

$$x Fe_2O_3 \cdot y FeO \text{ 即ち } x Fe_3O_4 \cdot (y-x) FeO \\ \text{或は } Fe_{(2x+y)} O_{(3x+y)}$$

の如く歸着する。

$x=1, y=1$  の場合には  $Fe_3O_4$  となり

$x>y$  の場合には低還元

$x<y$  の場合には過剩還元となる。

高溫度にて  $FeO$  は  $Fe_2O_3$  と完全化合物を作り、過剩  $FeO$  は固溶體に存在し冷却により  $Fe_3O_4$  は分解する事なく  $FeO$  は 220°C にて一部遊離状態となる事は前實驗にて確め得た。又化合状態にある  $Fe_3O_4$  は 600°C にて磁氣変態を表はす事に依り區別し得る。之等導磁率の變化は夫々存在量により變化する事も前述の諸點により示されて居る。

$FeO$  の導磁率は前述せる組織的實驗により 2.43 なる事證明せらるゝが故に之等の理論を總括して處理試料の酸化鐵の結合状態を決定すれば第 9 表の如くなる。第 9 表は還元試料の導磁率は遊離  $FeO$  及び  $Fe_3O_4$  に依るものとして  $FeO$  及び  $Fe_3O_4$  の導磁率より (3) 式により計算した結果である。400°C  $H_2$  瓦斯還元試料に就き計算例を示せば次の如し。

この場合遊離  $FeO$  は後述する如く 15.4% となる故、 $Fe_3O_4$  として存在すべき量を x% とすれば (3) 式より

$$(6.27-1) \frac{x}{100} + (2.43-1) \cdot \frac{15.4}{100} + 1 = 3.12 \\ x = 36.05\%$$

即ち  $H_2$  瓦斯還元試料中に  $Fe_3O_4$  立方體をなす部分は 36.05% にして分析組合結果の  $Fe_3O_4$  量に比し著しく少く、後述する如く 15.4%  $FeO$  は遊離状態に存在し残剩の  $FeO$  及び  $Fe_3O_4$  は固溶體  $[Fe_2O_3 + Fe_3O_4]$  及び  $[Fe_3O_4 + FeO]$  として存在するものと推理し得。

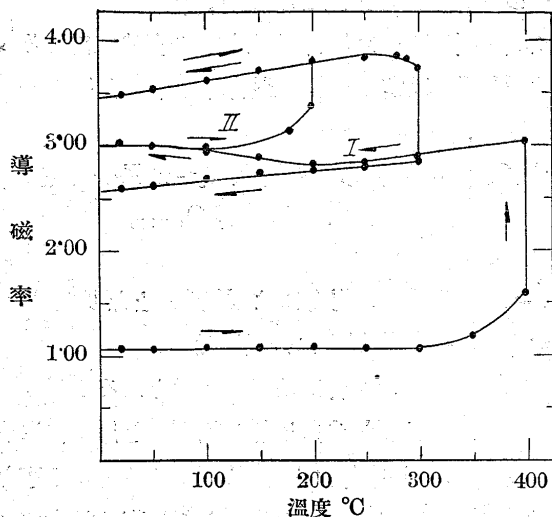
1,000°C 真空加熱の場合を見るに分析組合結果は殆んど變化なきも磁性は著しく増加して居る。即ち真空加熱により固溶體は解離作用を起し  $Fe_3O_4$  立方體を形成し磁性を増加するものと推理される。從つて  $Fe_3O_4$  立方體増加し遊離  $FeO$  は再び固溶するものと考へられる。この爲めに導磁率對磁場の強さの關係が第 6 圖に示す如く天然磁鐵礦と同傾向を示すに至るのである。何れの場合も  $Fe$  は  $FeO$  と固溶して居るものと考へられる。

<sup>3)</sup> 松原厚木曜會誌 第三卷 第五號。

$H_2$  瓦斯還元試料を冷却すれば第8圖<sup>1)</sup>の如く最初は導磁率を直線的に減少し  $200^\circ\text{C}$  より再び増加し、酸化す。

第8圖 還元試料酸化と導磁率の関係

鞍山赤鐵礦  $400^\circ\text{C}$  200分  $H_2$  瓦斯還元



れば圖中曲線 II の如く導磁率を増加して居る。この現象を冷却の際  $200^\circ\text{C}$  にて  $\text{FeO}$  遊離し酸化の際  $200^\circ\text{C}$  附近にて弱磁性  $\text{FeO} \rightarrow$  強磁性  $\text{Fe}_3\text{O}_4$  の變化起るに依るものとして  $\text{FeO}$  及び  $\text{Fe}_3\text{O}_4$  の導磁率より數字的に説明すれば次の如くなる。

還元試料を冷却する際  $200^\circ\text{C}$  より常温迄に増加せし導磁率は  $3.04 - 2.82 = 0.22$

この増加量を  $\text{FeO}$  の分離に依るものと假定すれば  $\text{FeO}$  量は

$$1 \times \frac{0.22}{2.43 - 1} \times 100 = 15.4\%$$

$200^\circ\text{C}$  にて酸化して全部  $\text{Fe}_3\text{O}_4$  にあると假定すれば

$$15.7 \times \frac{232}{216} = 16.5\%$$

$16.5\% \text{Fe}_3\text{O}_4$  の増加に對する導磁率の増加量は  $\text{Fe}_3\text{O}_4$  の導磁率を  $6.27$  とすれば次の如くなる。

$$(6.27 - 1) \times 0.165 = 0.87$$

還元試料を酸化する際の導磁率の増加量は實驗にては  $0.97$  にて上の値に近きを見る。即ち還元試料には  $15.4\%$  の  $\text{FeO}$  が遊離状態に存在しこれが酸化して既に前報告に述べし如く弱磁性  $\text{FeO} \rightarrow$  強磁性  $\text{Fe}_3\text{O}_4 \rightarrow$  強磁性  $\text{Fe}_2\text{O}_3$  の變化をなし導磁率を増加するものと推理し得る。

$\text{CO}$  瓦斯還元試料は一部炭化物及び遊離炭素を存在するも大部分  $\text{FeO}$  にて金屬鐵及び  $\text{Fe}_3\text{O}_4$  は  $\text{FeO}$  に固溶して居るものと考へられる、 $\text{CO}$  瓦斯  $350^\circ\text{C}$  120分還元試料には固溶體  $[\text{Fe}_3\text{O}_4 + \text{FeO}]$ ,  $[\text{FeO} + \text{Fe}_3\text{O}_4]$  が存在するものと推理されるが、更に還元を續行すれば漸次  $\text{Fe}_3\text{O}_4 \rightarrow \text{FeO}$  の變化進行して300分還元後は固溶體  $[\text{FeO} + \text{Fe}_3\text{O}_4]$  のみとなる。真空加熱すれば炭化物及び一部  $\text{FeO}$  は分解して金屬鐵を増加し、金屬鐵は遊離するに至る。

## IX. 總括

以上の結果を総括すれば次の如くなる。

(I) 導磁率の測定には彈動電流計法を用ひ試料充填密度を  $2.65 \text{ gr/cm}^3$  とし、磁場の強さは 274 ガウスとした。

(II) 各種磁鐵礦及び人工  $\text{Fe}_3\text{O}_4$  に就き導磁率を測定して磁鐵礦 ( $\text{Fe}_3\text{O}_4$  立方體) の導磁率を  $6.27$  と決定した。

(III) 天然赤鐵礦を  $\text{CO}$  瓦斯還元して  $\text{FeO}$  に富む試料を作り  $\text{FeO}$  の導磁率を測定して  $2.43$  を得た。

(IV) 天然磁鐵礦及び還元して得たる各種酸化鐵の導磁率の關係を求むれば第2圖の様になる。

(V) 天然磁鐵礦及び還元試料の真空加熱溫度と導磁率の關係は第5圖の如くなり、 $650 \sim 700^\circ\text{C}$  真空加熱にて急に増加しそれ以上は溫度と共に徐々に増し、本溪湖磁鐵礦は  $700^\circ\text{C}$  以上一定になる。而して還元試料は天然磁鐵礦より加熱による導磁率の增加大である。

(VI) 天然磁鐵礦及び還元して得たる酸化物を  $650^\circ\text{C}$  以上真空加熱すれば導磁率を増加する。

(VII)  $\text{Fe}_3\text{O}_4$  は  $59 \sim 600^\circ\text{C}$  にて磁氣變態を示すも、 $\text{FeO}$  は  $700^\circ\text{C}$  迄真空加熱するも磁性の變化を示さない。

(VIII)  $H_2$  瓦斯還元試料を  $650^\circ\text{C}$ ,  $800^\circ\text{C}$ ,  $1,000^\circ\text{C}$  にて夫々1時間真空加熱すれば導磁率對磁場の關係は第6圖の如くなり溫度の上昇に従ひ漸次天然磁鐵礦に接近して居る。

(IX)  $\text{FeO}$  及び  $\text{Fe}_2\text{O}_3$  が完全に  $\text{Fe}_3\text{O}_4$  を形成し残剰の  $\text{FeO}$ ,  $\text{Fe}_2\text{O}_3$  は遊離状態に存在するものとせる理論的場合の導磁率と含有  $\text{FeO}$  の關係は第7圖の曲線(V)の如く  $31\% \text{FeO}$  にて最大導磁率を示しそれを境にして増減して居る。

(X) 天然磁鐵礦及び各種還元にて得たる酸化鐵及び同上真空加熱せるものの導磁率對含有  $\text{FeO}$  の關係は第7圖曲線 I, II, IV, の如くにて還元にて得たる酸化鐵は  $38\%$  にて最大導磁率を示し理論的場合と趣を異にして居るが真空加熱すれば漸次理論的場合に接近する事を示してゐる。

(XI) 天然磁鐵礦及び  $H_2$  及び  $\text{CO}$  瓦斯還元にて得たる酸化鐵の酸素結合狀態を  $\text{FeO}$  及び  $\text{Fe}_3\text{O}_4$  の導磁率を基礎とし、前述諸關係を參照して推理すれば第9表の如くなる。即ち  $\text{FeO}$  及び  $\text{Fe}_2\text{O}_3$  は一部分  $\text{Fe}_3\text{O}_4$  立方體にて存在し残剰の  $\text{FeO}$ ,  $\text{Fe}_2\text{O}_3$  は固溶體  $[\text{Fe}_2\text{O}_3 + \text{Fe}_3\text{O}_4]$ ,  $[\text{Fe}_3\text{O}_4 + \text{Fe}_2\text{O}_3]$ ,  $[\text{Fe}_3\text{O}_4 + \text{FeO}]$ ,  $[\text{FeO} + \text{Fe}_3\text{O}_4]$ ,  $[\text{FeO} + \text{Fe}]$  及び遊離  $\text{FeO}$  として存在して居る。真空加熱すればこれら固溶體が解離作用を起して  $\text{Fe}_3\text{O}_4$  立方體をなし磁性を増加する。

本文は工學博士長谷川熊彦先生の御懇篤なる御指導によりたるものにして、ここに厚く感謝する次第である。